

# Projeto B

Entrega até 5 de Junho

Movimento de um projétil com atrito (dissipativo) e Coriolis (não dissipativo)

$$\frac{du}{dt} = -fv + f'w - Du$$

$$\frac{dv}{dt} = fu - Dv$$

$$\frac{dx}{dt} = u, \frac{dy}{dt} = v, \frac{dz}{dt} = w$$

$$\frac{dw}{dt} = -g - f'u - Dw$$

$$D = \frac{c_D A \rho_F \frac{1}{2} |\vec{v}|}{\rho_R V}$$

# Movimento de um projétil

Solução depende da posição inicial  $(x_0, y_0, z_0)$ , da velocidade inicial  $(u_0, v_0, w_0)$  e de parâmetros  $(\phi, c_D, g, \Omega, R)$ .

# Aula 18

Equações diferenciais independentes do tempo: problemas de condições fronteira (espacial)

# Calcular a distribuição de temperatura numa barra composta 1D

Admite-se que não existe fluxo lateral de calor.

Na direção longitudinal vale a lei de Fourier:

$$\text{Fluxo de calor} = -k \frac{\partial T}{\partial x}$$

Metal	Condutividade $Wm^{-1}K^{-1}$
Aluminio	237
Cobre	401
Ferro	80



Admite-se que a barra atingiu o equilíbrio térmico ( $T = \text{const}$  em cada ponto), logo Fluxo independente de  $x$ . Logo, em cada metal ( $k = \text{const}$ ):

$$\frac{\partial T}{\partial x} = \text{const}$$

Isto é a temperatura varia linearmente, seguindo uma **linha quebrada**, com quebras nas transições entre materiais.

# Discussão

A equação da condução de calor, de **Fourier**, é uma equação diferencial:

$$\frac{\partial T}{\partial t} = -\nabla \cdot (-k\nabla T)$$

reduzindo-se, o **caso estacionário**, com condutividade constante, à **Equação de Laplace**:

$$\nabla^2 T = 0$$

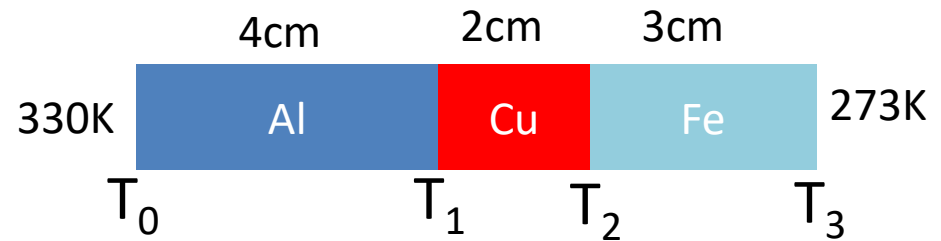
No caso unidimensional (com  $k$  variável):

$$-\frac{\partial}{\partial x} \left( -k \frac{\partial T}{\partial x} \right) = 0$$

No caso em que  $k$  é **constante por troços**, obtém-se (**de forma exata**) um sistema de **equações lineares algébricas**.

O caso geral, em que é preciso resolver de forma aproximada, a **equação diferencial**, será tratado mais tarde.

# Condução

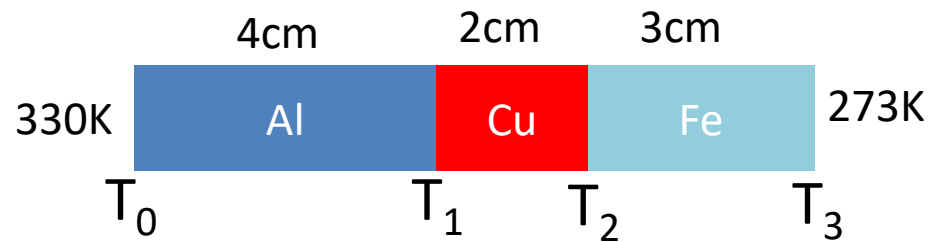


$$\begin{aligned} \text{Fluxo de calor} &= k_{Al} \left( -\frac{\partial T}{\partial x} \right) \equiv k_{Al} \frac{T_0 - T_1}{x_1 - x_0} = k_{Cu} \frac{T_1 - T_2}{x_2 - x_1} = k_{Fe} \frac{T_2 - T_3}{x_3 - x_2} \\ &= \text{const} \end{aligned}$$

Sistema de equações lineares algébricas:

$$\begin{cases} -\frac{k_{Al}}{x_1 - x_0} T_1 - \frac{k_{Cu}}{x_2 - x_1} T_1 + \frac{k_{Cu}}{x_2 - x_1} T_2 = -\frac{k_{Al}}{x_1 - x_0} T_0 \\ \frac{k_{Cu}}{x_2 - x_1} T_1 - \frac{k_{Cu}}{x_2 - x_1} T_2 - \frac{k_{Fe}}{x_3 - x_2} T_2 = -\frac{k_{Fe}}{x_3 - x_2} T_3 \end{cases}$$

# Forma matricial



$$\begin{cases} -\frac{k_{Al}}{x_1 - x_0} T_1 - \frac{k_{Cu}}{x_2 - x_1} T_1 + \frac{k_{Cu}}{x_2 - x_1} T_2 = -\frac{k_{Al}}{x_1 - x_0} T_0 \\ \frac{k_{Cu}}{x_2 - x_1} T_1 - \frac{k_{Cu}}{x_2 - x_1} T_2 - \frac{k_{Fe}}{x_3 - x_2} T_2 = -\frac{k_{Fe}}{x_3 - x_2} T_3 \end{cases}$$

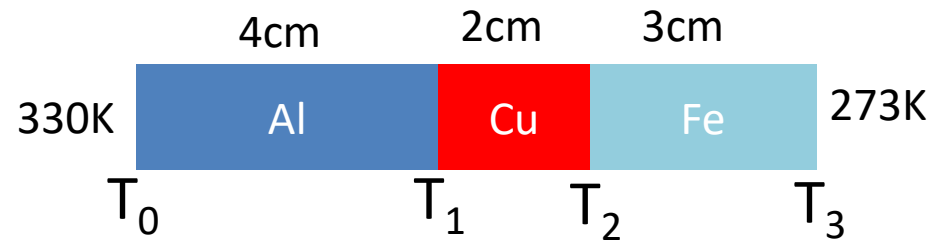
$$\begin{bmatrix} -\frac{k_{Al}}{x_1 - x_0} & -\frac{k_{Cu}}{x_2 - x_1} \\ \frac{k_{Cu}}{x_2 - x_1} & -\frac{k_{Cu}}{x_2 - x_1} - \frac{k_{Fe}}{x_3 - x_2} \end{bmatrix} \begin{bmatrix} T_1 \\ T_2 \end{bmatrix} = \begin{bmatrix} -\frac{k_{Al}}{x_1 - x_0} T_0 \\ -\frac{k_{Fe}}{x_3 - x_2} T_3 \end{bmatrix}$$

# Equilíbrio térmico numa barra

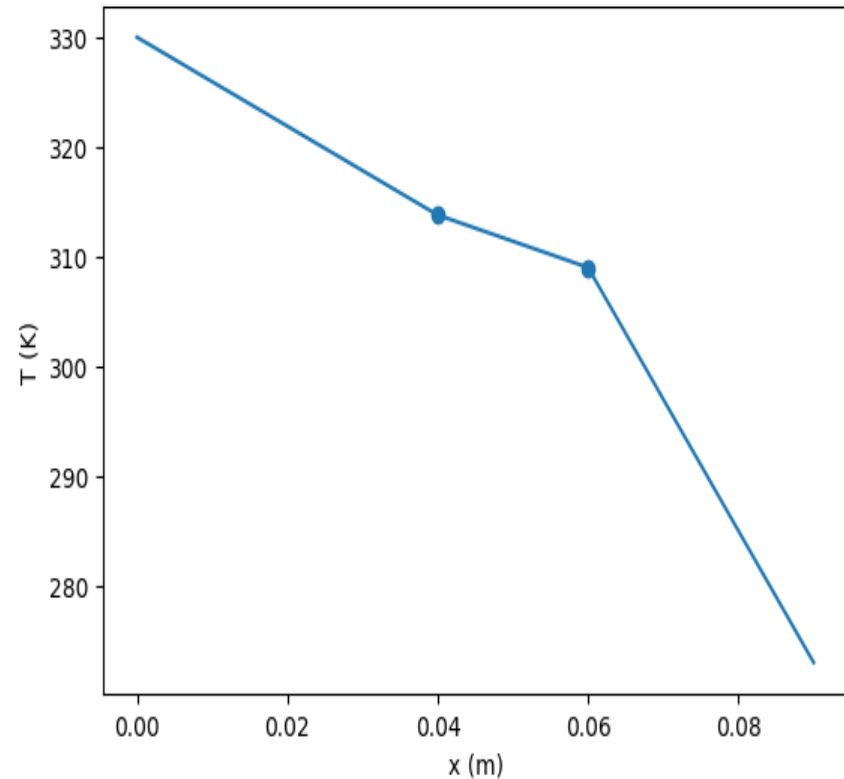
```
import numpy as np
import matplotlib.pyplot as plt
kAl=237;kCu=401;kFe=80;T0=330;T3=273
x0=0;x1=0.04;x2=0.06;x3=0.09
A=np.array([[ -kAl/(x1-x0) -kCu/(x2-x1) , kCu/(x2-x1) ], \
            [ kCu/(x2-x1) , -kCu/(x2-x1) -kFe/(x3-x2) ]], dtype=float)
b=np.array([ -kAl/(x1-x0)*T0 , -kFe/\
            (x3-x2)*T3], dtype=float)
T=np.linalg.solve(A,b)
print('T=' , T)
plt.plot([x0,x1,x2,x3] , [T0,T[0],T[1],T3])
plt.scatter([x1,x2] , T)
plt.xlabel('x (m)')
plt.ylabel('T (K)')
```



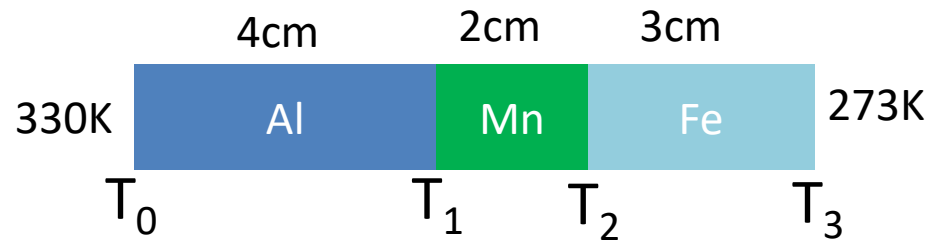
# Solução



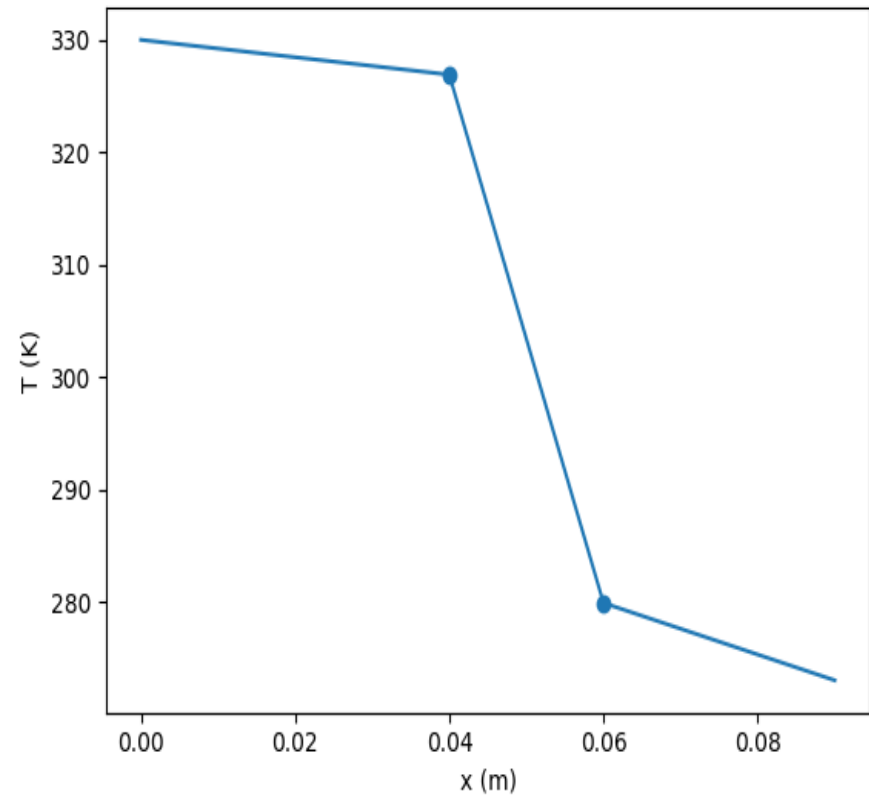
Metal	Condutividade $Wm^{-1}K^{-1}$
Aluminio	237
Cobre	401
Ferro	80



# Solução 2



Metal	Condutividade $Wm^{-1}K^{-1}$
Aluminio	237
Manganésio	7.81
Ferro	80





# Lei de Fourier da condução em 3 dimensões

Num meio conductor, o **fluxo de calor** ( $Wm^{-2}$ ) é proporcional ao gradiente de temperatura, transportando calor em direção às regiões mais frias:

$$\vec{q} = -\chi \nabla T = -\chi \left( \frac{\partial T}{\partial x} \vec{i} + \frac{\partial T}{\partial y} \vec{j} + \frac{\partial T}{\partial z} \vec{k} \right)$$

$\chi$  ( $Wm^{-1}K^{-1}$ ) é a **condutividade térmica** do meio, depende da sua composição e da temperatura.

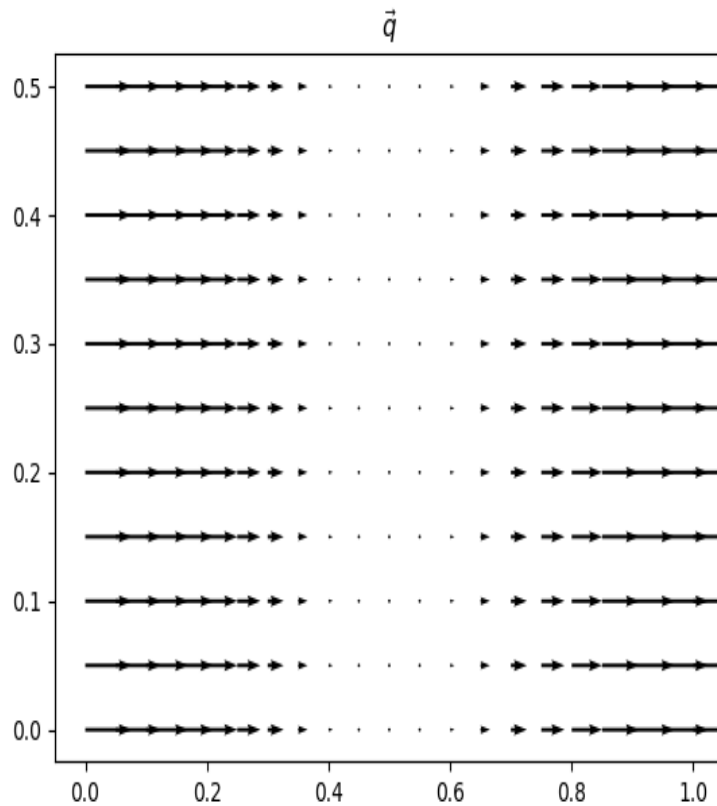
A taxa de variação da temperatura num ponto depende da distribuição do fluxo de calor:

$$\rho c_p \frac{\partial T}{\partial t} = -\nabla \cdot (-\chi \nabla T)$$

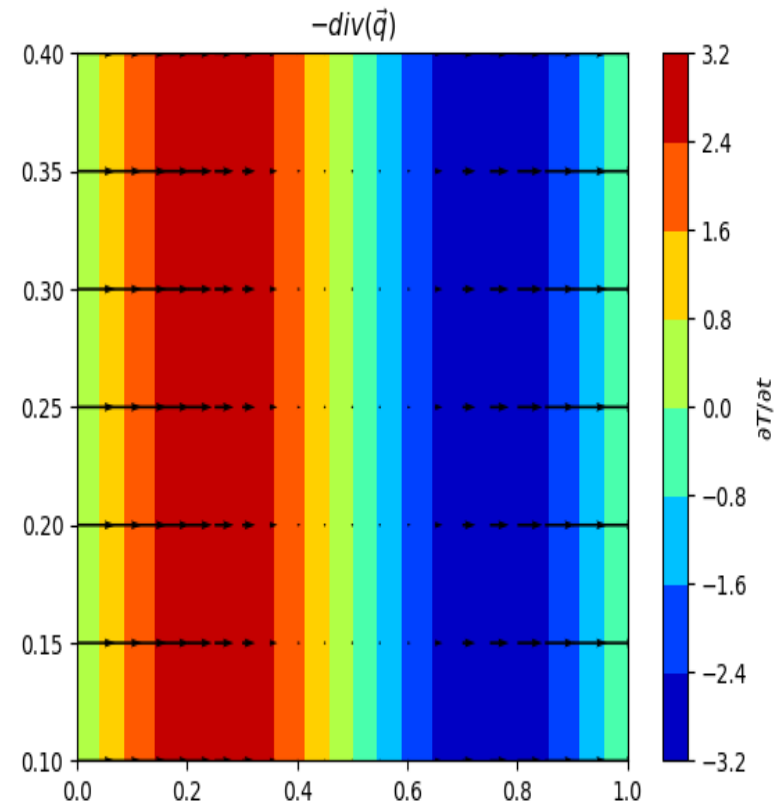
$\rho$  é a densidade,  $c_p$  é o calor específico do meio.

$$-\nabla \cdot (-\chi \nabla T) = -\nabla \cdot (\vec{q}) = -\text{div } \vec{q}$$

Fluxo de calor



Taxa de aquecimento



Zona de convergência      Zona de divergência

# Na presença de fontes internas de calor...

Incluindo **fontes internas de calor** (reações químicas, decaimento radioativo, ou outras) dadas por  $\dot{q}_V$  ( $W m^{-3}$ ), obtém-se a forma mais geral da **lei de Fourier**:

$$\rho c_p \frac{\partial T}{\partial t} = -\nabla \cdot (-\chi \nabla T) + \dot{q}_V$$

Em **equilíbrio**  $T = const$ , tem-se:

$$-\nabla \cdot (-\chi \nabla T) + \dot{q}_V = 0$$

No caso  $\chi = const$  (**material homogêneo, com pouco gradiente de temperatura**), fica a **equação de Poisson**:

$$\nabla^2 T = -\frac{1}{\chi} \dot{q}_V$$

Na ausência de fontes internas, temos a **equação de Laplace**:

$$\nabla^2 T = 0$$

# Equação de Poisson da electrostática

o potencial gerado por uma distribuição contínua de carga eléctrica numa placa satisfaz à equação:

$$\frac{\partial^2 V}{\partial x^2} + \frac{\partial^2 V}{\partial y^2} = -\frac{\rho}{\epsilon_0}$$

em que  $V$  é o potencial eléctrico,  $\rho(x, y)$  a densidade volúmica de carga e  $\epsilon_0$  a permitividade eléctrica do meio.

Em três dimensões, seria:

$$\nabla^2 V = \frac{\partial^2 V}{\partial x^2} + \frac{\partial^2 V}{\partial y^2} + \frac{\partial^2 V}{\partial z^2} = -\frac{\rho}{\epsilon_0}$$

# Equação de Poisson

Eq. Poisson da electrostática:

$$\nabla^2 V = \frac{\partial^2 V}{\partial x^2} + \frac{\partial^2 V}{\partial y^2} + \frac{\partial^2 V}{\partial z^2} = -\frac{\rho}{\epsilon_0}$$

Eq. de Fourier da condução de calor em meio homogéneo:

$$\nabla^2 T = \frac{\partial^2 T}{\partial x^2} + \frac{\partial^2 T}{\partial y^2} + \frac{\partial^2 T}{\partial z^2} = -\frac{1}{\chi} \dot{q}_V$$

Forma geral:

$$\nabla^2 V = \frac{\partial^2 V}{\partial x^2} + \frac{\partial^2 V}{\partial y^2} + \frac{\partial^2 V}{\partial z^2} = f(x, y, z)$$

Caso particular (equação de Laplace):  $f(x, y, z)=0$



# Problemas de condição fronteira

A equação de Poisson não pode ser resolvida progressivamente a partir de um ponto, como fizemos com as trajetórias. A solução é sempre **global**.

Vamos considerar o caso 2D. Na forma discreta, a equação pode escrever-se, usando diferenças finitas centradas:

$$\begin{cases} \frac{\partial^2 \phi}{\partial x^2} \approx \frac{\phi_{i-1,j} - 2\phi_{i,j} + \phi_{i+1,j}}{\Delta x^2} \\ \frac{\partial^2 \phi}{\partial y^2} \approx \frac{\phi_{i,j-1} - 2\phi_{i,j} + \phi_{i,j+1}}{\Delta y^2} \end{cases}$$

Onde:

$$\begin{cases} \phi_{i,j} = \phi(x_i, y_j) \\ x_i = (i - 1)\Delta x; i = 0, \dots, M - 1 \\ y_j = (j - 1)\Delta y; j = 0, \dots, N - 1 \end{cases}$$

# Diferenças centradas

A diferença finita centrada, constitui uma **aproximação de segunda ordem**, i.e.:

$$\frac{\partial^2 \phi}{\partial x^2} \approx \frac{\phi_{i-1,j} - 2\phi_{i,j} + \phi_{i+1,j}}{\Delta x^2} + E(\Delta x^2)$$

Resultando da soma das duas séries de Taylor:

$$\phi(x + \Delta x) = \phi(x) + \frac{d\phi}{dx} \Delta x + \frac{1}{2} \frac{d^2 \phi}{dx^2} \Delta x^2 + \frac{1}{3!} \frac{d^3 \phi}{dx^3} \Delta x^3 + \dots$$

$$\phi(x - \Delta x) = \phi(x) - \frac{d\phi}{dx} \Delta x + \frac{1}{2} \frac{d^2 \phi}{dx^2} \Delta x^2 - \frac{1}{3!} \frac{d^3 \phi}{dx^3} \Delta x^3 + \dots$$

$$\phi(x + \Delta x) + \phi(x - \Delta x) = 2\phi(x) + \frac{d^2 \phi}{dx^2} \Delta x^2 + \frac{2}{4!} \frac{d^4 \phi}{dx^4} \Delta x^4 + \dots$$

etc.

# Equação de Poisson discreta, em diferenças centradas

Se for  $\Delta x = \Delta y = \Delta$ , fica

$$\phi_{i-1,j} + \phi_{i+1,j} + \phi_{i,j-1} + \phi_{i,j+1} - 4\phi_{i,j} = \Delta^2 f_{i,j}$$
$$\{i = 1, \dots, M - 2; j = 1, \dots, N - 2\}$$

onde se notou que as diferenças centradas só se podem calcular nos **pontos interiores do domínio**. Na fronteira, os valores ( $i = 0, M - 1; j = 0, N - 1$ ), têm que ser impostos.

**A solução depende da fronteira!**

# Método da relaxação

A solução satisfaz:

$$\phi_{i-1,j} + \phi_{i+1,j} + \phi_{i,j-1} + \phi_{i,j+1} - 4\phi_{i,j} = \Delta^2 f_{i,j}$$

Começamos por atribuir uma distribuição para  $\phi$ , por exemplo  $\phi = 0$ , e vamos melhorar essa estimativa, de forma **iterativa**:

Dada uma estimativa do campo  $\phi$ , na iteração  $n$  existe um erro (resíduo  $R$ ):

$$\phi_{i-1,j}^n + \phi_{i+1,j}^n + \phi_{i,j-1}^n + \phi_{i,j+1}^n - 4\phi_{i,j}^n - \Delta^2 f_{i,j} = R_{i,j}$$

Se se corrigir:

$$\phi_{i,j}^{n+1} = \phi_{i,j}^n + \frac{R_{i,j}}{4}$$

O erro será anulado (**mas só nesse ponto!**)

# Sobre-relaxação **simultânea**

Só se mantém um array de  $\phi$ . Faz-se:

$$\phi_{i,j} = \phi_{i,j} + \beta \frac{R_{i,j}}{4}$$

i.e., à medida que se altera um ponto de grelha o novo valor já é utilizado no cálculo do resíduo dos pontos adjacentes.

$$1 \leq \beta < 2$$

$\beta$  é o parâmetro de **sobre-relaxação**. Pode mostrar-se que o método converge mais rapidamente com:

$$\beta_{opt} = 2 - \pi\sqrt{2} \left( \frac{1}{M^2} + \frac{1}{N^2} \right)^{1/2}$$